#### 一原 著一

# 分化型甲状腺癌のアブレーション効果判定に関する 多施設共同研究に向けた技術的検討: アンケート調査とファントム評価

土屋 沙貴 $^{1)}$  阿部 真治 $^{1)}$  藤田 尚利 $^{1)}$  西本 卓矢 $^{1)}$  櫻木 庸博 $^{1)}$  小芝有美子 $^{2)}$  米田 和夫 $^{1)}$  加藤 克彦 $^{2)}$ 

- 1) 名古屋大学医学部附属病院医療技術部放射線部門
- 2) 名古屋大学大学院医学系研究科医療技術学専攻

Technical Validation of Imaging Parameters for Multicenter Study about Effect Measurement of Remnant Ablation in Patients with Differentiated Thyroid Cancer: Questionnaire Survey and Phantom Experiment

Saki Tsuchiya $^{1}$ , Shinji Abe $^{1}$ , Naotoshi Fujita $^{1}$ , Takuya Nishimoto $^{1}$ , Yasuhiro Sakuragi $^{1}$ , Yumiko Koshiba $^{2}$ , Kazuo Yoneda $^{1}$  and Katsuhiko Kato $^{2}$ 

- 1) Department of Radiological Technology, Nagoya University Hospital
  - 2) Department of Radiological and Medical Laboratory Sciences, Nagoya University Graduate School of Medicine

(article received: Sep 1, 2016)

#### **Summary**

Toward multicenter study about effect measurement of ablation in cases thyroid remnant tissue using I-131 after total thyroidectomy (remnant ablation) in Japan, obtaining clinical data has been performed. In this study, we made a survey by questionnaire on equipment and acquisition parameters used for diagnostic scintigraphy from eight hospitals that have been performed remnant ablation. And we performed a phantom study based on acquisition parameters in our hospital in order to evaluate the visually detectable activity of residual tissue. In this study, we acquired data of whole body (WB), planar, and single photon emission computed tomography (SPECT) images using neck phantom with I-131 NaI capsule. According to the survey by questionnaire, the dose of I-131, intervals between ingestion and imaging, and bed speed of WB differed among eight hospitals. In the phantom study, we could detect low radioactivity of 1.66 kBq (WB, bed speed: 10 cm/min), 1.39 kBq (planar, 5 min acquisition), and 4.69 kBq (SPECT). The detectability was improved by extending the acquisition time in WB and planar imaging. Hence it is necessary to perform phantom experiment at other hospitals and standardize some imaging parameters such as bed speed of WB and acquisition time of planar imaging. And we need to examine criteria to determine whether remnant ablation succeeded from not only technical but also clinical aspect.

Key words: I-131, Thyroid, Remnant ablation, Gamma camera

## 1. 緒 言

甲状腺癌は内分泌腺に発生する癌の中で最も頻 度が高く、全悪性腫瘍の約1.2%を占めている<sup>1)</sup>。 甲状腺癌の患者に対してはいずれの組織型でも手 術療法が第一選択となるが、全摘術を行っても甲 状腺組織を完全に取り除くことはできない<sup>2)</sup>。全 摘術後に甲状腺組織が残存する割合は約9割とい われ, computed tomography (CT) や超音波など の形態画像診断で同定できない場合でも微小な組 織が残存していることが多い<sup>3)</sup>。残存組織は除去 されることが望ましく, それを目的として行われ る iodine (I)-131 内用療法はレムナント・アブ レーション(以下 アブレーション)といわれて いる。アブレーションにより、1)血清サイログ ロブリン (thyroglobulin: Tg) 値の信頼性が増し フォローアップが容易になる。2) アブレーショ ン前には発見不可能であった病変の発見によりス テージングが可能になる。3) 微小な残存病変を 除去でき補助療法の役割を果たすという報告<sup>4,5)</sup> や. 局所再発や遠隔転移. 死亡のリスクが減少す るという報告がある<sup>6,7)</sup>。

アブレーションでは治療数日後に I-131 シンチグラフィを撮像し、残存組織への I-131 の取り込み確認が行われる。さらに治療半年~1年後には効果判定のため、血液検査による血清 Tg 値と甲状腺刺激ホルモン(thyroid stimulating hormone: TSH)値の測定、および I-131 を用いた診断シンチグラフィの撮像が行われる $^{8)}$ 。診断シンチグラフィにおいては、頚部への集積が視覚的に認められなければ残存組織が除去され、アブレーションが成功したと診断される。

現在愛知甲状腺研究会が多施設の臨床データを 用いた、アブレーションの効果判定に関する多施 設共同研究に向けての取り組みを始めている。し かし診断シンチグラフィの撮像に使用する装置や 収集条件は施設ごとに異なり、残存組織の検出能 に差が生じる可能性がある。そこで本研究では愛 知甲状腺研究会の取り組みに参加しているアブ レーション実施施設に対し、診断シンチグラフィ の撮像に使用する装置や各種条件についてアン ケート調査を行った。これによって多施設から臨 床画像を集めるにあたり、施設間でどれほど条件 に差があるか、検出能に差が生じる要素が存在するかについて検討した。

加えてアブレーションの効果判定では微小な残存組織への I-131 の集積の有無を評価しなければならず、施設間における収集条件の違いが検出能の差につながることが予想される。よって各施設で残存組織の検出能を評価することが必要と考える。そこで本研究では自施設における診断シンチグラフィの収集条件を基にファントム実験を行った。実験により I-131 診断シンチグラフィ上の集積を視覚的に検出できる放射能の下限値を求め、検出能の指標として評価した。さらに whole body (WB) の寝台速度や planar の収集時間を変えることにより、検出能に変化が生じるかを調べた。

## 2. 方 法

#### 2-1. アンケート調査

愛知甲状腺研究会に参加しアブレーションを実施している 8 施設において、診断シンチグラフィの収集条件に関するアンケート調査を行った。アンケート項目は以下の通りとした。(1) 使用薬剤と投与量、(2) 治療から診断シンチグラフィ 撮像までの期間、(3) 診断シンチグラフィにおける薬剤投与から撮像までの日数、(4) single photon emission computed tomography (SPECT) 装置、(5) コリメータ、(6) シンチレータ厚、(7) 収集する画像の種類および条件 (a) WB:マトリックス数、拡大率、寝台速度、(b) planar:マトリックス数、拡大率、収集時間、(c) SPECT:撮像の有無

#### 2-2. ファントム実験

International atomic energy agency (IAEA) 甲状腺ファントム ITS 型 (京都科学) の甲状腺部に I-131 ヨウ化ナトリウムカプセル 3.7 MBq (6 mm $\varphi$ ×18 mm, 富士フィルム RI ファーマ) を配置した (Fig. 1 (a))。これにより甲状腺全摘後,残存組織のある患者の頚部を模擬した。このファントムを SPECT-CT 装置 Symbia T6 (Siemens Healthcare) に high energy (HE) コリメータ (10 cm における感度 135 cpm/ $\mu$ Ci, システム分解能 13.4 mm) を装着して収集した。撮像した画像は WB, planar, SPECT 横断像である。今回の実験では、自施設で過去に収集された臨床データを利

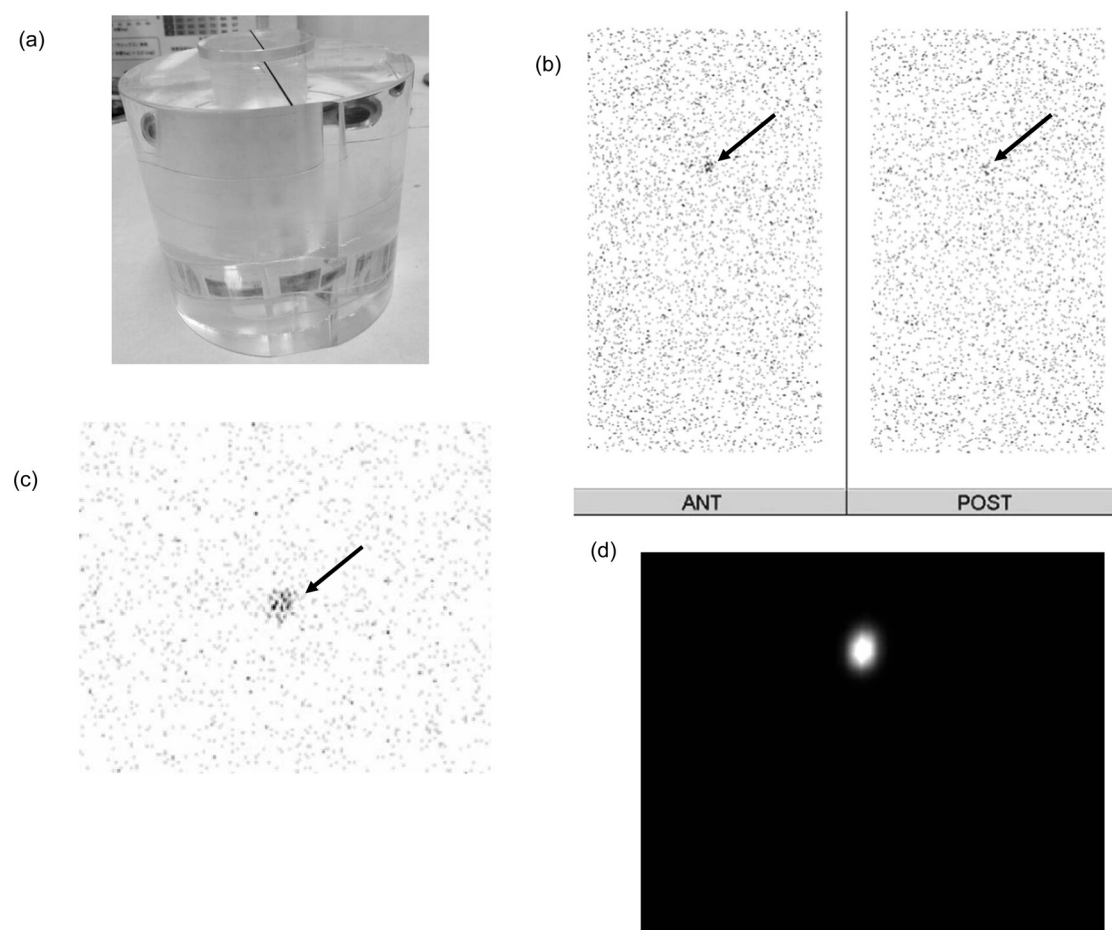


Fig. 1 Neck phantom (a: structure of the phantom, b: WB, c: planar, d: SPECT) 類部ファントム (a: ファントム写真, b: WB 像, c: プラナー像, d: SPECT 像)

用してさらなる検討を行うため、自施設において臨床で用いているものと同一の収集・再構成条件を用いた。エネルギーウインドウはすべての撮像で364 keV±7.5%とした。WB の収集条件はマトリックス数256×1,024,拡大率1.00,ピクセルサイズ4.8 mmとした。寝台速度は臨床条件である10 cm/minに加え5,15 cm/minの計3種類とした。planarの収集条件はマトリックス数256×256,拡大率1.00,ピクセルサイズ4.8 mmとした。自施設ではアブレーション後の診断シンチグラフィにおいてplanar収集は行っていないが、その他のI-131シンチグラフィでplanar収集する際の条件を基にして撮像を行った。収集時間は臨床条件である5分に加え10,15分の計3種類とした。SPECTの収集条件は収集範囲360°,サンプ

リング角度  $5.625^\circ$  (64 views), マトリックス数  $128 \times 128$ , 拡大率 1.23, ボクセルサイズ 3.9 mm, 収集時間 30 sec/view とし, 連続収集モードで自動近接収集した。SPECT の再構成法は three dimentional ordered subset expectation maximization (3D-OSEM) を用い, iteration を 6, subset を 4 とした。CT 画像による減弱補正を行い, 散乱線補正は行わなかった。なお後処理フィルタとしてGaussian filter(半値幅 10 mm)を用いた。収集はカプセルの検定日から約70~130日後の期間において数日置きに同一条件で繰り返し行った。放射能減衰によりおよそ 7.23 kBq(0.195  $\mu$ Ci)~ 0.095 kBq(0.003  $\mu$ Ci)の範囲で複数の放射能の画像を得た。

上記の方法で得られた画像からカプセルによる

集積を視覚的に検出できるか、核医学専門医1名による評価を行った。評価者にはランダムで各種画像を提示し、集積箇所を正しく回答できれば検出可能、できなければ検出不可能とした。視覚評価の環境は通常の読影時と同様になるよう、自施設のアイソトープ検査室内の読影端末(EIZO社製 RadiForce RX220)を用いて行った。臨床でアブレーションの治療効果判定を行う際に甲状腺が存在した頚部周辺を中心に読影を行うことを想定し、画像上の集積の位置が可能な限り同一になるよう位置合わせをした。計7種類の条件の画像(寝台速度5,10,15分のplanar,SPECT)ごとに、視覚評価で検出可能であった放射能の下限値を検出能の

指標として比較した。

## 3. 結 果

#### 3-1. アンケート調査

アンケート結果を **Table 1**, **2** に示す。施設 A は自施設とした。使用核種については、全 8 施設 のうち I-131 が 5 施設, I-123 が 1 施設, 診断シンチグラフィの撮像を行っていない施設が 2 施設であった。SPECT 装置は、Infinia、(GE Healthcare)、SKYLight(Philips Healthcare)、Symbia T6、Symbia T16(以上 Siemens Healthcare)、E. CAM、Symbia E(以上 東芝メディカルシステムズ)であった。使用コリメータは I-131 を使用している 5 施設全てにおいて HE、I-123 を使用し

Table 1Answers of questionnaires: protocols and gamma camerasアブレーション実施施設に対するアンケートの回答: 収集プロトコルと使用機器

Institute	Isotope	Dose [MBq (mCi)]	Intervals between isotope therapy and tracer study [months]	Intervals between uptake and imaging [days]	Model name (Manufacturer)	Collimator	Thickness of scintillator [inch]
A	I-131	185 (5)	7	4	Symbia T6 (Siemens)	HE	3/8
В	I-131	370 (10)	9	3	Symbia E (TOSHIBA)	HE	3/8
С	I-131	370 (10)	3-6	1 and 3	E.CAM (TOSHIBA)/ Symbia T16 (Siemens)	HE	5/8
D	I-131	185 (5)	12	3	Infinia (GE)	HE	3/8
E	I-131	185(5)	6	5	Infinia (GE)	HE	3/8
F	I-123	18.5 (0.5)	6	1	SKYLlight (Philips)	LEGP	3/8
G	None	_	_	_		_	_
H	None	_	_	_	_	_	

 Table 2 Answers of questionnaires: acquisition parameters

 アブレーション実施施設に対するアンケートの回答:収集条件

Institute		WB					
	Matrix	Magnification	Bed speed [cm/min]	Matrix	Magnification	Acquisition time [sec]	SPECT
A	$256 \times 1,024$	1.00	15	_	_	_	0
В	$256 \times 1,024$	1.00	15	$128 \times 128$	1.00	600	$\bigcirc$
$\mathbf{C}$	$256 \times 1,024$	1.00	8	_	_	_	$\bigcirc$
D	$256 \times 1,024$	1.00	8	_	_	_	$\bigcirc$
E	$256 \times 768$	1.00	5	_	_	_	$\bigcirc$
$\mathbf{F}$	$512 \times 1,024$	1.00	7	_	_	_	×
G	_	_	_	_	_	_	_
Н	_	_	_	_	_	_	_

ている施設では low energy general purpose (LEGP) であった。シンチレータ厚は 1 施設のみで 5/8 インチ, それ以外では 3/8 インチであった。WB は診断シンチグラフィを実施している 6 施設全てで撮像されていた。planar は 6 施設中 1 施設 (使用核種は I-131), SPECT は 6 施設中 5 施設 (I-131 を使用している施設全て) で撮像されていた。1 施設のみで行われていた planar の収集条件はマトリックス数 128×128, 拡大率 1.00, 収集時間10分であった。

#### 3-2. ファントム実験

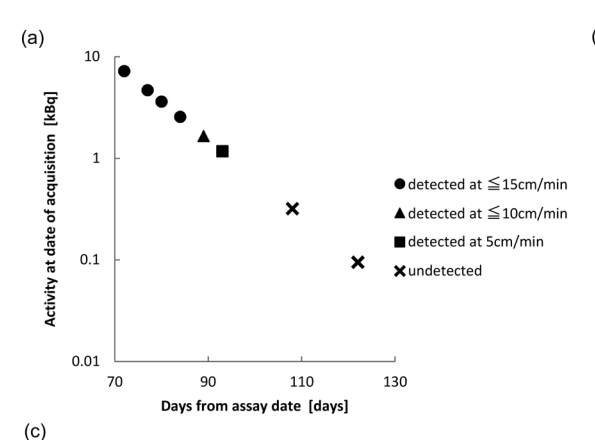
ファントム収集により得られた画像を **Fig. 1** (b) ~ (d) に示す。図中のカプセルの放射能は全て 4.69 kBq で, **Fig. 1** (b) は寝台速度 5 cm/min で WB 収集して得られた画像, **Fig. 1** (c) は 5 分間の planar 収集で得られた画像, **Fig. 1** (d) は SPECT 収集で得られた画像である。また視覚評価の結果を **Fig. 2** に示す。WB で撮像した画像から視覚評価により信号を検出可能で

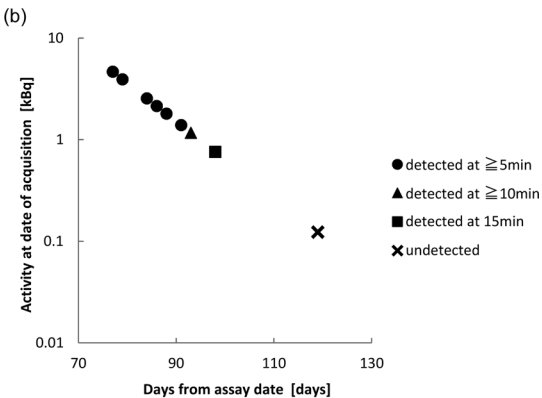
あった放射能の下限値(検出能)は寝台速度 5 cm/min で  $1.17 \, \mathrm{kBq}$  ( $0.032 \, \mu \mathrm{Ci}$ ),  $10 \, \mathrm{cm/min}$  で  $1.66 \, \mathrm{kBq}$  ( $0.045 \, \mu \mathrm{Ci}$ ),  $15 \, \mathrm{cm/min}$  で  $2.56 \, \mathrm{kBq}$  ( $0.069 \, \mu \mathrm{Ci}$ ) であった。planar における検出能は  $5 \, \mathrm{分収集}$ で  $1.39 \, \mathrm{kBq}$  ( $0.038 \, \mu \mathrm{Ci}$ ),  $10 \, \mathrm{分収集}$ で  $1.171 \, \mathrm{kBq}$  ( $0.032 \, \mu \mathrm{Ci}$ ),  $15 \, \mathrm{分収集}$  で  $0.76 \, \mathrm{kBq}$  ( $0.021 \, \mu \mathrm{Ci}$ ) であった。WB では寝台速度が遅いほど、planar では収集時間が長いほど検出能が高くなった。SPECT における検出能は  $4.69 \, \mathrm{kBq}$  ( $0.127 \, \mu \mathrm{Ci}$ ) であった。

## 4. 考 察

#### 4-1. アンケート調査

アンケートの結果から、診断シンチグラフィを 撮像していない施設が2施設あった。外来アブ レーションの実施要項<sup>®)</sup>では診断シンチグラフィ の撮像と血液検査を行うことを推奨しているが、 撮像を行っていない施設では Tg および TSH の 値や臨床所見を基に経過観察を行っていた。経過





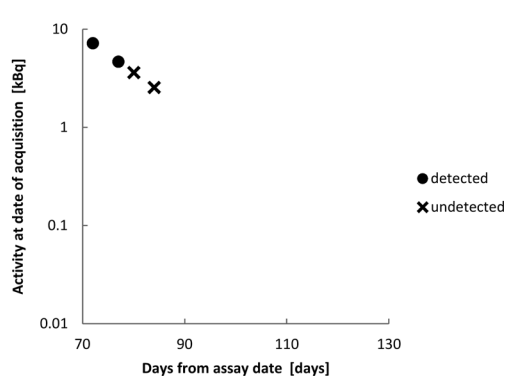


Fig. 2 Results of visual evaluation (a: WB, b: planar, c: SPECT) 視覚評価の結果 (a: WB, b: プラナー像, c: SPECT)

観察に診断シンチグラフィと血液検査の両方を用 いるとは明言されていないのではないかという. 各種ガイドラインや実施要項に対する解釈の違い が理由の一つとして挙げられる。また診断シンチ グラフィを撮像する場合I-131 投与前に TSH 値 を上昇させる必要があり、甲状腺ホルモン薬の休 薬または遺伝子組み換えヒト型 (recombinant human: rh) TSH 製剤の投与による外因性刺激 が行われる。甲状腺ホルモン薬の休薬を行った場 合は、倦怠感など甲状腺機能低下症の症状が生じ ることが多いため身体的負担が大きい。外因性刺 激の場合甲状腺機能低下症の症状は無いが. rhTSH 製剤が高価なことから経済的負担が大き い。ヨウ素制限なども含め、様々な面で患者に負 担がかかるということは診断シンチグラフィの問 題点であり、撮像を行っていない施設からもそれ に対する懸念を示す意見があった。

診断シンチグラフィの撮像を行っている施設に ついても、撮像する画像の種類が異なった。WB は全身検査のため検査時間が長くなるが、残存組 織以外に転移や再発があった場合に発見できる可 能性があるという利点から、診断シンチグラフィ を撮像している施設全てにおいて撮像されている と考えられる。一方 planar は 1 施設のみで撮像 されていた。撮像部位が全身ではないため検査時 間を短縮しやすく、目的とする部位に注目した画 像が得られるという利点が挙げられる。一方で撮 像部位外に転移が生じている可能性から、planar を撮像せず WB を撮像する施設が多くみられた と考えられる。SPECT は5施設で撮像されてお り、診断シンチグラフィを撮像している施設のう ち1施設では撮像されていなかった。SPECT は 集積の位置を三次元的に特定しやすいという利点 がある。一方で検査時間が大幅に長くなる点と. 同時に CT 撮像を行う場合被ばくが増える点がデ メリットとして挙げられることから、WBや planar で集積が確認され、その集積の三次元的な 位置同定が必要となった際に SPECT 収集を行う ことが適切ではないかと考える。また SPECT は WB や planar と比べて収集・再構成条件が多数 ある分、施設間において残存組織の検出能に差が 生じる原因となる要素が多数存在する点について も注意が必要である。

I-131 を使用する施設と I-123 を使用する施設 がみられたが、使用核種の違いから様々な面で差 が生じる。まず半減期やβ線の放出の有無,投 与量の違いから被ばく線量に差が生じる。また放 出される y 線のエネルギーは I-131 が 364 keV な のに対し I-123 は 159 keV であり、159 keV の方 がガンマカメラでの撮像に適したエネルギーと なっている。さらにエネルギーの違いにより使用 コリメータも異なるため、画像の空間分解能に差 が生じ、検出能が変わると考えられる。I-123 を 使用している施設では被ばく低減やγ線のエネ ルギーの違いを重視しているのではないかと考え られる。一方で I-123 は残存組織や転移・再発検 索をするには半減期が短すぎるという意見もあ り、診断精度を重視して I-131 を使用している施 設が世界的に多い<sup>9)</sup>。今回のアンケートで I-131 を使用している施設が多くみられた理由の一つと しても上記の点が考えられる。

また同じ核種を使用している施設間でも投与 量、撮像までの日数、WBの寝台速度などに大き くばらつきがみられた。例えば Table 1 中の施 設A(自施設)では5mCi投与で4日後に寝台 速度 10 cm/min で撮像しているのに対し、施設 Cでは 10 mCi 投与で 1.3 日後に寝台速度 8 cm/min で撮像しているというように、施設間で 異なっている条件が複数存在する場合もあった。 加えてシンチレータ厚の差や SPECT 装置のばら つきによるコリメータの性能、画像処理の方法な どの差により、仮に同一条件で収集したとしても 感度や空間分解能が異なる可能性が考えられるた め、アンケート結果だけでは検出能の差を客観的 に判断することはできない。今後多施設からアブ レーション後の診断シンチグラフィの臨床画像を 集めるには、画像を提供する各施設においてファ ントム実験を行って実際に検出能を比較し、必要 があれば WB の寝台速度や planar の収集時間と いった条件を統一すべきであると考えられる。

#### 4-2. ファントム実験

WB は自施設の臨床条件 (寝台速度 10 cm/min) で撮像した画像では 1.66 kBq まで視覚的に検出可能であった。planar においては、収集時間 5 分で 1.39 kBq まで検出可能であった。現在自施設では臨床で planar 収集を行っていないが、

いずれも臨床での投与量を 5 mCi として計算す ると、カプセルと同じ大きさの集積ならば 0.001%以下の集積まで検出できることになる。 ただし実際の残存組織の大きさは CT などの形態 画像診断で同定できないような微小なものも多 く、それによる検出能の変化については今後さら なる検討が必要と考える。アンケート結果におい て WB の寝台速度の差が目立ったため、今回の 実験では3種類の寝台速度にて収集した。その結 果寝台速度を抑えて収集時間を延長することによ り検出能が向上することが確認された。planarも WB と同様3種類の収集時間にて収集したが、収 集時間の延長に伴い検出能は向上した。 signal to noise ratio (SNR) の改善によるものと考えられ るが、収集時間の延長は患者の負担増加やスルー プットの低下につながる。よってどれほどの放射 能まで検出できればよいか線引きをしたうえで. 前述のような収集時間延長によるデメリットとの バランスを考慮して収集時間を決定するべきであ る。

SPECT は WB や planar と比較して検出できる 放射能の下限値が 4.69 kBq (臨床で 5 mCi 投与 とすると約0.003%) と高く、検出能が大きく劣 る結果となった。Geerlings らは分化型甲状腺癌 の再発例において、WB に加えて SPECT の撮像 を推奨しており10),本結果とは異なる結果を示 している。今回の実験における WB 収集では体 軸方向の長さ約 40 cm の検出器上を 5, 10, 15 cm/min で移動するため、ファントム内のカプセ ルはそれぞれ約8,4,2.7分間視野内に存在し たことになる。planar 収集はベッドの移動が無い ため収集時間の分だけ(今回の実験では5,10, 15分間) 視野内にカプセルが存在する。一方今回 の SPECT 収集では、1 view 当たりの収集時間が 30秒となっていた。またカプセルの放射能が極め て低いことから分化型甲状腺癌の再発例における 集積と比較して得られるカウントが少なく,1 view あたりの投影データ、もしくは投影データ を 3D-OSEM で再構成する過程においてカプセ ルの信号がノイズに埋もれたということが予想さ れる。以上の点からカプセルの集積が視覚的に検 出されず、SPECT において検出能が劣ったと考 えられるが, 原因について今後さらに詳細な検討 が必要である。SPECT 画像は三次元的な集積の位置同定に優れているが、今回の結果から WB や planar で検出できた集積が SPECT において検出できない可能性があることを念頭に置く必要があると考える。また SPECT においては画像再構成法やフィルタ、散乱線補正、減弱補正、空間分解能補正など、WB やプラナー像には無い多くの因子が画質に影響を及ぼす。施設間で検出能を比較する際にはさらに、アンケート調査の考察でも述べたような撮像装置の性能や、画像再構成および各種補正に用いられるアルゴリズムなどの違いも考慮しなければならない。よって撮像および処理条件の比較だけでなく、やはり実験による客観的な検出能の比較が必要と考えられる。

今回の実験はバックグラウンドや他の高集積部位が全く無い条件下で行われた。I-131 は甲状腺組織自身や甲状腺由来の組織への特異性が強いが、臨床では患者によって唾液腺などに強く集積することが考えられる。周囲の集積の影響により、今回の実験結果とは検出能が異なる可能性がある。

今回は自施設の臨床条件で収集・再構成した場合の検出能を求めたが、どれほどの放射能が集積した場合に有意な甲状腺組織の残存が疑われるかという、臨床的な観点からの検討は行われていない。よって技術的にだけでなく臨床的にも、画像から視覚的に検出可能となるべき放射能について検討し、最終的にはそれらが検出可能となるよう撮像条件を最適化することも必要であると考える。さらに画像を提供する全施設において実験による検出能の評価を行い、アブレーションの効果判定を客観的かつ施設間で差のないものとしていきたい。

# 5. 結 論

アブレーション効果判定に関する多施設共同研究に向け、技術的な基礎検討を行った。臨床での診断シンチグラフィの収集条件についてアンケート調査を行ったところ、施設ごとに差がみられた。自施設の臨床条件を基に行ったファントム実験では、寝台速度  $10~{\rm cm/min}$  の WB 収集で  $1.66~{\rm kBq}$  ( $0.045~{\rm \mu Ci}$ )、 $5~{\rm fl}$  の planar 収集で  $1.39~{\rm kBq}$  ( $0.038~{\rm \mu Ci}$ )、SPECT 収集で  $4.69~{\rm kBq}$  ( $0.127~{\rm tr}$ 

分化型甲状腺癌のアブレーション効果判定に関する多施設共同研究に向けた技術的検討:アンケート調査とファントム評価(土屋,他)

μCi)の信号まで検出された。

### 6. 謝 辞

本研究を行うにあたりアンケートにご回答をいただいた、愛知医科大学病院、旭労災病院、安城 更生病院、大須診療所、岡崎市民病院、名古屋第 二赤十字病院、藤田保健衛生大学病院の皆様、そ して本研究にご協力いただいた富士フィルム RI ファーマの高柳典正様、高橋清志様に心より御礼 申し上げます。

## 7. 参考文献

- 大西洋, 唐澤久美子, 唐澤克之:がん・放射線療法2010. 第1版:747-755, 篠原出版新社, 2010
- Halperin EC, Wazer DE, Perez CA, et al: Perez & Brady's Principles and Practice of Radiation Oncology. 6th edition: 918–937, Wolters Kluwer, 2013
- 3) 日本内分泌外科学会,日本甲状腺外科学会:甲状腺腫瘍診療ガイドライン2010年版.金原出版株式会社,2010
- 4) Cooper DS, Doherty GM, Haugen BR, et al: Revised American Thyroid Association Management Guidelines for Patients with Thyroid Nodules and Differen-

- tiated Thyroid Cancer. Thyroid, **19** (11): 1167–1214, 2009
- 5) Lamartina L, Durante C, Filetti S, et al: Low-Risk Differentiated Thyroid Cancer and Radioiodine Remnant Ablation: A Systematic Review of the Literature. J Clin Endocrinol Metab, 100(5): 1748– 1761, 2015
- Mazzaferri EL and Jhiang SM: Long-Term Impact of Initial Surgical and Medical Therapy on Papillary and Follicular Thyroid Cancer. Am J Med, 97(5): 418– 428, 1994
- Mazzaferri EL and Kloos RT: Current Approaches to Primary Therapy for Papillary and Follicular Thyroid Cancer. J Clin Endocrinol Metab, 86 (4): 1447– 1463, 2001
- 8) 日本医学放射線学会,日本核医学会,日本甲状腺 学会,他:残存甲状腺破壊を目的としたI-131に よる外来治療実施要項,第2版,日本核医学会
- 9) Lind P and Kohlfürst S: Respective Roles of Thyroglobulin, Radioiodine Imaging, and Positron Emission Tomography in the Assessment of Thyroid Cancer. Semin Nucl Med, 36(3): 194–205, 2006
- 10) Geerlings JA, van Zuijlen A, Lohmann EM, et al: The value of I-131 SPECT in the detection of recurrent differentiated thyroid cancer. Nucl Med Commun, 31(5): 417–22, 2010